

YOLO 系列综述-Part 4:

番外 —— CSPNET 论文阅读笔记

论文名: A NEW BACKBONE THAT CAN ENHANCE LEARNING CAPABILITY OF CNN

目录

1. 简介	5
2. 论文概述	6
2.1. 摘要 (Abstract)	6
2.2. 引言 (Introduction)	6
2.3. 相关工作 (Related Work)	6
2.4. 方法论 (Methodology)	6
2.5. 实验 (Experiments)	7
2.6. 结论 (Conclusion)	7
2.7. 应用部署限制	7
3. 主要贡献	7
3.1. 加强 CNN 的学习能力	7
3.2. 移除计算瓶颈	7
3.3. 减少内存成本	8
4. 实验结果分析	8
4.1. Implementation Details (实现细节)	8
4.1.1. ImageNet 图像分类实验	8
4.1.2. MS COCO 目标检测实验	8
4.1.3. 实验细节的意义	8
4.2. Ablation Experiments (消融实验)	9
4.2.1. CSPNet 在 ImageNet 上的消融实验	9
4.2.2. CSPNet 在 IImageNet 上的消融实验结果分析	9
4.2.3. EFM 在 MS COCO 上的消融实验	9

4.2.4.	EFM 在 MS COCO 上的消融实验分析	9
4.3.	CSPNet 在 ImageNet 图像分类任务上的应用和性能	10
4.3.1.	实验设置	10
4.3.2.	实验结果	10
4.4.	CSPNet 在 MS COCO 数据集上进行对象检测任务的性能	10
4.4.1.	实验配置	10
4.4.2.	实验结果	10
4.4.3.	结论	11
4.5.	Analysis (分析)	11
4.5.1.	计算瓶颈 (Computational Bottleneck)	11
4.5.2.	内存流量 (Memory Traffic)	11
4.5.3.	推理速率 (Inference Rate)	11
4.5.4.	结论	12
5.	论文核心方法分析	12
5.1.	Cross Stage Partial Network (交叉阶段部分网络)	12
5.1.1.	DenseNet (密集连接网络)	12
5.1.1.1.	密集块	12
5.1.1.2.	过度层	13
5.1.1.3.	优势	13
5.1.2.	Cross Stage Partial DenseNet (交叉阶段部分密集网络)	13
5.1.2.1.	部分密集块 (Partial Dense Block)	13
5.1.2.2.	部分过渡层 (Partial Transition Layer)	14
5.1.3.	特征融合策略 (Feature Fusion Strategies)	14
5.1.4.	总结	15
5.2.	Exact Fusion Model (EFM)	15
5.2.1.	EFM 的目的	15
5.2.2.	工作原理	15
5.2.3.	特点	15
5.2.4.	在目标检测中的应用	16
6.	论文涉及方法分析	16

6.1.	神经网络的深度和宽度	16
6.1.1.	深度 (Depth)	16
6.1.2.	宽度 (Width)	16
6.2.	ResNet.....	16
6.2.1.	残差学习	16
6.2.2.	优势	17
6.3.	ResNeXt.....	17
6.4.	ResNet (PRN)	17
6.5.	SparseNet.....	17
6.5.1.	核心概念与设计.....	18
6.5.2.	优势、特点与应用.....	18
6.6.	ShuffleNet-v2.....	18
6.6.1.	核心概念与设计.....	18
6.6.2.	优势、特点与应用.....	18
6.7.	HardNet.....	19
6.7.1.	核心概念与设计.....	19
6.7.2.	优势、特点与应用.....	19
6.8.	卷积输入/输出 (CIO)	20
6.9.	SSD (Single Shot MultiBox Detector)	20
6.9.1.	核心概念与特点.....	20
6.9.2.	优势与应用	20
6.10.	无锚点 (anchor-free)	21
6.10.1.	主要特点和工作原理.....	21
6.10.2.	优势和挑战.....	21
6.10.3.	无锚点目标检测的例子	21
6.10.3.1.	CenterNet.....	21
6.10.3.2.	CornerNet.....	21
6.10.3.3.	CornerNet-Lite.....	22
6.10.3.4.	FCOS (Fully Convolutional One-Stage Object Detection)	22
6.11.	LRF(Local Receptive Fields).....	22

6.12.	RFBNet.....	22
6.13.	计算瓶颈.....	22
6.13.1.	硬件限制.....	22
6.13.2.	算法效率.....	23
6.13.3.	数据处理.....	23
6.14.	动态随机存取存储器 (DRAM)	23
6.15.	ASIC (Application-Specific Integrated Circuit)	23
6.16.	交叉通道池化 (Cross-Channel Pooling)	23
6.16.1.	全局平均池化 (Global Average Pooling, GAP)	23
6.16.2.	全局最大池化 (Global Max Pooling, GMP)	23
6.16.3.	应用和优点.....	24

1. 简介

实时物体检测已经成为众多应用中的一个重要组成部分，横跨自主车辆、机器人、视频监控和增强现实等各个领域。在各种物体检测算法中，YOLO（You Only Look Once）框架因其在速度和准确性方面的显著平衡而脱颖而出，能够快速、可靠地识别图像中的物体。自成立以来，YOLO 系列已经经历了多次迭代，每次都是在以前的版本基础上解决局限性并提高性能（见表格 1）。

表格 1：历代 YOLO 发布时间、主要改动及作者，由笔者同学、四川大学硕士贺宇劼整理。相关文章链接：

https://blog.csdn.net/qq_54478153/article/details/139477271

时间	版本	主要改动	作者
2015	v1		Joseph Redmon & Ali Farhadi
2016	v2	引入Batch Normalization 和锚框(anchor boxes)	Joseph Redmon & Ali Farhadi
2018	v3	更高效的骨干网络、引入特征金字塔和PAN	Joseph Redmon & Ali Farhadi
2020	v4	引入SPP模块、CSP模块、Mish激活函数、CmBN归一化	Alexey Bochkovskiy
2020	v5	引入Focus结构	Ultralytics
2021	x	引入解耦头 (Decoupled Head)、不再预设锚框	旷视
2022	v6	引入RepConv, 量化相关内容, 简化解耦头	美团
2022	v7	Efficient Layer Aggregation Network (ELAN)模块, MP模块, Rep	台湾中央研究院
	v8	C2f模块	Ultralytics
2024	v9	Generalized Efficient Layer Aggregation Network (GELAN)	台湾中央研究院
2024	v10	整体高效的网络设计、空间-通道解耦下采样	清华

在本系列文章中，笔者将回顾 YOLO 框架的发展历程，从开创性的 YOLOv1 到最新的 YOLOv10，逐一剖析每个版本的核心创新、主要差异和关键改进。本系列不仅会探讨 YOLO 各版本的技术进步，还将重点讨论在追求检测速度与准确性之间的平衡。

作为系列的**第四章**，是番外章节，将作为本系列第三章关于 YOLOv4 主干网络中，CSPDarknet53 部分的补充。本文将详细分析 CSPNet 的结构与优势，并回顾 CNN 架构设计的相关研究。以帮助读者可以对 YOLOv4 有更全面的理解。

文章撰写时间短，未能仔细校对。可能存在笔误、描述不准确、重要内容缺失等问题。希望大家能指出，笔者会随时修改补充。

注：该系列文章中，所有黑色加粗并配有下划线的关键词，均配有交叉引用。

曹倬瑄

2024/7/4 于惠州

2. 论文概述

这篇论文的标题是《CSPNet: A New Backbone that Can Enhance Learning Capability of CNN》，由 Chien-Yao Wang 等人撰写，发表于 2020 年 7 月 8 日。这篇论文提出了一种新的卷积神经网络（CNN）骨架——Cross Stage Partial Network（CSPNet），旨在提高 CNN 的学习能力，同时减少计算量和提高推理速度。

2.1. 摘要 (Abstract)

论文指出，尽管神经网络在计算机视觉任务（如目标检测）上取得了显著成果，但这些成果很大程度上依赖于昂贵的计算资源。

作者提出了 CSPNet，从网络架构的角度减轻了以往工作所需的大量推理计算。**CSPNet 通过在网络阶段的开始和结束时整合特征图来尊重梯度的变异性**，实验表明，该方法在 ImageNet 数据集上减少了 20% 的计算量，并且在 MS COCO 目标检测数据集上的表现显著优于现有技术。

2.2. 引言 (Introduction)

论文讨论了**神经网络的深度和宽度**对性能的影响，并指出扩展神经网络架构会增加计算量，这对于目标检测等计算密集型任务来说是一个挑战。

作者提出了 CSPNet，通过**分割基础层的特征图**并通过**网络阶段的交叉层次结构合并它们**，以实现梯度的丰富组合，同时减少计算量。

2.3. 相关工作 (Related Work)

论文回顾了 CNN 架构设计的相关研究，包括 ResNeXt、ResNet (PRN)、SparseNet、ShuffleNet-v2 以及一种名为 HardNet 的低内存流量 CNN，它考虑了内存流量和计算效率，对于资源受限的环境具有重要意义。并提出了一种**卷积输入/输出 (CIO)**度量，它是对实际 DRAM 流量测量的比例近似，并讨论了实时目标检测器，如 YOLOv3 和 SSD、基于**无锚点 (anchor-free)**的目标检测器。以及一些基于这些算法的改进工作，如 LRF、RFBNet、CenterNet、CornerNet-Lite。

2.4. 方法论 (Methodology)

Cross Stage Partial Network (交叉阶段部分网络)：详细介绍了 CSPNet 的结构，包括 DenseNet (密集连接网络)、部分密集块 (Partial Dense Block) 和 部分过渡层 (Partial Transition Layer) 的设计。

Exact Fusion Model (EFM)：提出了一种新的模型，用于捕获每个锚点的适当视野，以提高单阶段目标检测器的准确性。

2.5. 实验(Experiments)

论文使用 ImageNet 和 MS COCO 数据集来验证 CSPNet 和 EFM 的性能。

实验结果表明, CSPNet 在保持或提高准确性的同时, 显著减少了计算量和内存使用。

在 MS COCO 数据集上, 基于 YOLOv3 的模型测试时, CSPNet 有效减少了 80%的计算瓶颈。

2.6. 结论(Conclusion)

CSPNet 通过跨阶段特征融合策略和截断梯度流来增强不同层学习到的特征的变异性。

通过实验验证了 CSPNet 结合 EFM 在移动 GPU 和 CPU 上实时目标检测任务的准确性和推理速率方面显著优于竞争对手。

2.7. 应用部署限制

论文没有详细讨论 CSPNet 在不同硬件平台上的部署情况。

对于 CSPNet 在不同任务(如语义分割、实例分割)上的应用和性能没有深入探讨。

3. 主要贡献

设计 CSPNet 的主要目的是使这种架构在减少计算量的同时实现更丰富的梯度组合。CSPNet 可以大大减少计算量, 并提高推理速度以及准确性, 基于 CSPNet 的目标检测器处理以下三个问题:

3.1. 加强 CNN 的学习能力

现有 CNN 在轻量化后准确性大大下降, 因此作者希望加强 CNN 的学习能力, 使其在轻量化的同时保持足够的准确性。CSPNet 可以轻松应用于 ResNet、ResNeXt 和 DenseNet。在上述网络应用 CSPNet 后, 计算量可以减少 10%到 20%, 但在 ImageNet 上进行图像分类任务的准确性方面, 它优于 ResNet、ResNeXt、DenseNet、HardNet、Elastic 和 Res2Net。

3.2. 移除计算瓶颈

过高的计算瓶颈将导致完成推理过程需要更多的周期, 或者一些算术单元经常会处于空闲状态。因此, 作者希望能够在 CNN 的每一层均匀分配计算量, 这样就可以有效地提高每个计算单元的利用率, 从而减少不必要的能源消耗。值得注意的是, 作者提出的 CSPNet 使 PeleeNet 的计算瓶颈减少了一半。此外, 在基于 MS COCO 数据集的目标检测实验中, 作者提出的模型能够在基于 YOLOv3 的模型上测试时有效减少 80%的计算瓶颈。

3.3. 减少内存成本

动态随机存取存储器(DRAM)的晶圆制造成本非常昂贵，并且占用很多空间。如果能够有效地减少内存成本，将大大减少 ASIC 的成本。此外，小型晶圆可以在各种边缘计算设备中使用。在减少内存使用方面，作者采用交叉通道池化(Cross-Channel Pooling)在特征金字塔生成过程中压缩特征图。通过这种方式，作者提出的 CSPNet 与提出的目标检测器可以在生成特征金字塔时将 PeleeNet 的内存使用量减少 75%。

4. 实验结果分析

4.1. Implementation Details (实现细节)

4.1.1. ImageNet 图像分类实验

- **超参数设置：**作者遵循了 Redmon 等人在 YOLOv3 中定义的设置，包括训练步骤、学习率调度策略、优化器、数据增强等。
- **训练步骤：**对于基于 ResNet 和 ResNeXt 的模型，设置了 8000000 次训练步骤；对于基于 DenseNet 的模型，设置了 1600000 次训练步骤。
- **学习率：**初始学习率设置为 0.1，并采用多项式衰减学习率调度策略。
- **优化器参数：**动量(momentum)设置为 0.9，权重衰减(weight decay)设置为 0.005。
- **批量大小：**所有架构在单 GPU 上以批量大小 128 进行训练。
- **验证集：**使用 ILSVRC 2012 的验证集来验证方法的有效性。

4.1.2. MS COCO 目标检测实验

- **超参数设置：**同样遵循了 Redmon 等人在 YOLOv3 中的设置。
- **训练步骤：**总共进行了 500000 次训练步骤。
- **学习率调度：**采用步进衰减学习率调度策略，在第 400000 步和第 450000 步时分别乘以 0.1 的衰减因子。
- **优化器参数：**动量设置为 0.9，权重衰减设置为 0.0005。
- **多尺度训练：**在单 GPU 上以批量大小 64 执行多尺度训练。
- **测试集：**最终使用 COCO test-dev 集来验证方法。

4.1.3. 实验细节的意义

- **一致性：**实验设置与现有先进方法的设置保持一致，这有助于公平比较 CSPNet 与其他方法的性能。
- **可复现性：**详细的参数配置和训练步骤为其他研究者提供了复现实验结果的途径。

- **系统性：**系统地调整和记录实验参数有助于深入理解 CSPNet 的性能表现和潜在的改进空间。

4.2. Ablation Experiments (消融实验)

消融实验是研究中用于确定模型中哪些组件是必要或有益的，哪些可以去除或替换而不影响整体性能实验。

4.2.1. CSPNet 在 ImageNet 上的消融实验

- **基线模型：**使用 PeleeNet 作为基线模型来验证 CSPNet 的性能。
- **部分比率(γ)：**实验中使用了不同的部分比率 γ 来研究特征图分割对模型性能的影响。
- **特征融合策略：**研究了不同的特征融合策略，包括“CSP (fusion first)”和“CSP (fusion last)”，以验证部分过渡层设计对减少冗余信息学习的好处。

4.2.2. CSPNet 在 ImageNet 上的消融实验结果分析

- 当仅使用“CSP (fusion first)”策略时，性能略优于 SPeleeNet 和 PeleeNet。
- 设计的用于减少学习冗余信息的部分过渡层能够实现很好的性能。例如，当计算量减少 21%时，准确度仅下降了 0.1%。
- 特别值得注意的是，当 $\gamma=0.25$ 时，计算量减少了 11%，但准确度提高了 0.1%。
- 与基线 PeleeNet 相比，提出的 CSPPeleeNet 在减少 13%的计算量的同时，准确度提高了 0.2%。
- 当调整部分比率至 $\gamma=0.25$ 时，准确度提高了 0.8%，同时计算量减少了 3%。

4.2.3. EFM 在 MS COCO 上的消融实验

- **基线模型：**基于 MS COCO 数据集，比较了三种不同的特征融合策略。
- **比较模型：**选择了 PRN 和 ThunderNet 作为比较的两个最先进的轻量级模型。
- **特征金字塔架构：**PRN 用作比较的特征金字塔架构，而 ThunderNet 的 CEM 和 SAM 用作全局融合架构的比较。
- **全局融合模型(GFM)：**设计了 GFM 与提出的 EFM 进行比较。
- **其他技术：**还应用了 GIoU、SPP 和 SAM 到 EFM 进行消融研究。

4.2.4. EFM 在 MS COCO 上的消融实验分析

- EFM 比 GFM 慢 2 fps，但其 AP 和 AP50 分别显著提高了 2.1%和 2.4%。
- 引入 GIoU 可以将 AP 提高 0.7%，但 AP50 显著降低了 2.7%。
- 对于边缘计算，真正重要的是对象的数量和位置，而不是它们的坐标。因此，在后续模型中不使用 GIoU 训练。
- 使用 SAM 的注意力机制比 SPP 的增加视野机制可以获得更好的帧率和 AP，因此最终架构采用 EFM (SAM)。

4.3. CSPNet 在 ImageNet 图像分类任务上的应用和性能

4.3.1. 实验设置

作者将 CSPNet 应用于不同的 CNN 架构，包括 ResNet-10、ResNeXt-50、PeeleeNet 和 DenseNet-201-Elastic，并与现有的最先进方法进行比较。实验结果主要根据参数数量、计算量（以 FLOPs 表示）、Top-1 和 Top-5 准确率来评估。

4.3.2. 实验结果

- **CSPNet 的效果：**实验结果表明，无论对于基于 ResNet、ResNeXt 还是 DenseNet 的模型，引入 CSPNet 概念后，计算负载至少减少了 10%，而准确率要么保持不变，要么有所提高。
- **轻量级模型的改进：**CSPNet 的引入对于轻量级模型尤其有益。例如，与原始 ResNet-10 相比，CSPResNet-10 的准确率提高了 1.8%。
- **与其他模型比较：**
 - ❑ CSPPeeleeNet 和 CSPDenseNet-201-Elastic 分别减少了 13%和 19%的计算量，同时轻微提高了或保持了准确率。
 - ❑ CSPResNeXt-50 减少了 22%的计算量，并将 Top-1 准确率提高到 77.9%。
 - ❑ 与 EfficientNet-B0、ResNeXt-50、ResNet-152、DenseNet-264 和 HardNet-138s 等模型进行比较，均获得最佳的结果。

4.4. CSPNet 在 MS COCO 数据集上进行对象检测任务的性能

- 作者针对三个特定的场景进行了对象检测任务的实验：在 GPU 上的实时检测、在移动 GPU 上的实时检测，以及在 CPU 上的实时检测。

4.4.1. 实验配置

- **GPU 实时检测：**使用 CSPResNeXt50 作为骨干网络，并结合 PANet (SPP)进行特征融合。
- **移动 GPU 实时检测：**采用 CSPPeeleeNet、CSPPeeleeNet Reference 和 CSPDenseNet Reference 作为骨干网络，并应用提出的 EFM (SAM)。
- **CPU 实时检测：**使用 CSPPeeleeNet Reference 和 CSPDenseNet Reference 作为骨干网络，并结合 PRN 进行特征融合。

4.4.2. 实验结果

作者列出了不同模型在不同分辨率、帧率(FPS)、计算复杂度(BFLOPs)、参数数量、以及在不同尺度(APS/APM/APL)和不同精度指标(AP50、AP75)上的性能。

例如，CSPResNeXt50 结合 PANet (SPP)在 416×416 分辨率下达到了 53 FPS 的帧率，以及 36.6%的 AP 和 58.1%的 AP50。

4.4.3. 结论

作者得出结论, CSPNet 在 MS COCO 对象检测任务中表现出色, 无论是在 GPU、移动 GPU 还是 CPU 上, 都能提供高效的实时对象检测能力。通过与其他最先进方法的比较, CSPNet 证明了其不同计算平台上的适用性和有效性, 特别是在资源受限的环境中。并且 CSPNet 在保持高效率的同时, 还能提供高准确性的对象检测能力。这一点在移动 GPU 和 CPU 的实时检测任务中尤为重要。

4.5. Analysis (分析)

在论文的“4.5 Analysis”部分, 作者深入探讨了 CSPNet 架构在不同方面的性能表现, 包括计算瓶颈、内存流量和推理速率。以下是对这一部分内容的详细分析:

4.5.1. 计算瓶颈 (Computational Bottleneck)

- **目的:** 分析 CSPNet 如何平衡网络中的计算负载, 减少计算瓶颈。
- **方法:** 比较了 PeleeNet-YOLO、PeleeNet-PRN 和提出的 CSPPeleeNet-EFM 中每个层的 BLOPs (每秒浮点运算次数)。
- **结果:** PeleeNet-YOLO 的计算瓶颈出现在头部集成特征金字塔时; PeleeNet-PRN 的瓶颈出现在 PeleeNet 骨干的过渡层。而 CSPPeleeNet-EFM 通过平衡整体计算瓶颈, 减少了 PeleeNet 骨干 44% 的计算瓶颈, 以及 PeleeNet-YOLO 80% 的计算瓶颈。

4.5.2. 内存流量 (Memory Traffic)

- **目的:** 评估 CSPNet 在减少内存流量方面的表现。
- **方法:** 展示了 ResNeXt50 和提出的 CSPResNeXt50 每层的输入大小和输出大小。
- **结果:** CSPResNeXt50 的 CIO (卷积输入/输出) 为 32.6M, 低于原始 ResNeXt50 的 34.4M。CSPResNeXt50 去除了 ResXBlock 中的瓶颈层, 并保持了相同的输入通道和输出通道数量, 这有助于在固定 FLOPs 时实现最低的 MAC (内存访问成本) 和最高效的计算。

4.5.3. 推理速率 (Inference Rate)

- **目的:** 评估 CSPNet 在移动 GPU 或 CPU 上部署为实时检测器的可行性。
- **方法:** 在 NVIDIA Jetson TX2 和 Intel Core i9-9900K 上进行实验, 使用 OpenCV DNN 模块评估 CPU 上的推理速率, 且未采用模型压缩或量化以保证公平比较。
- **结果:**
 - 在 CPU 上, CSPDenseNetb Ref.-PRN 在 AP50 方面优于 SNet49 ThunderNet、YOLOv3-tiny 和 YOLOv3-tiny-PRN, 并且在帧率上分别高出 55 fps、48 fps 和 31 fps。
 - 在移动 GPU 上, 提出的 EFM 是一个好的模型选择, 因为它在生成特征金字塔时大大减少了内存需求, 这对于内存带宽受限的移动环境非常有利。例如, CSPPeleeNet Ref.-EFM (SAM) 的帧率高于 YOLOv3-tiny, 且 AP50 比 YOLOv3-tiny 高出 11.5%。

4.5.4. 结论

- **CSPNet 的优势：**通过跨阶段特征融合策略和截断梯度流，CSPNet 能够提高不同层学习到的特征的变异性，减少计算瓶颈，提高硬件利用率。
- **EFM 的贡献：**EFM 通过 Maxout 操作压缩特征图，显著减少了所需的内存带宽，使得推理过程高效且适合边缘计算设备。
- **实验验证：**实验结果表明，CSPNet 结合 EFM 在移动 GPU 和 CPU 上实时目标检测任务的准确性和推理速率方面显著优于竞争对手。

5. 论文核心方法分析

5.1. Cross Stage Partial Network (交叉阶段部分网络)

这部分论文详细介绍了 CSPNet 的设计和工作原理，以下是对这一部分内容的详细分析：

5.1.1. DenseNet (密集连接网络)

论文回顾了 DenseNet 的结构。在 DenseNet 中，每个阶段包含一个密集块 (dense block) 和一个过渡层 (transition layer)。

5.1.1.1. 密集块

在传统的卷积网络中，层与层之间的连接通常是顺序的，而在 DenseNet 中，每个密集块由 k 个密集层 (卷积层) 组成。第 i 个密集层的输出将与第 i 个密集层的输入连接起来，连接后的结果将成为第 $(i + 1)$ 个密集层的输入。这个过程可以用数学公式表示：

$$\begin{aligned} \mathbf{x}_1 &= \mathbf{w}_1 * \mathbf{x}_0 \\ \mathbf{x}_2 &= \mathbf{w}_2 * [\mathbf{x}_0, \mathbf{x}_1] \\ &\vdots \\ \mathbf{x}_k &= \mathbf{w}_k * [\mathbf{x}_0, \mathbf{x}_1, \dots, \mathbf{x}_{k-1}] \end{aligned}$$

其中 $*$ 为卷积运算符。 $[\mathbf{x}_0, \mathbf{x}_1, \dots]$ 表示连接 $\mathbf{x}_0, \mathbf{x}_1, \dots$ ， \mathbf{w}_i 和 \mathbf{x}_i 分别是第 i 个密集层的权重和输出。

这种密集连接的结构使得网络在深度增加的情况下也能有效地传递梯度，从而减少了梯度消失的问题。而且由于每一层都可以直接访问之前所有层的特征图，这就允许网络在不同层之间高效地重用特征，降低了参数的数量和计算的复杂度。

如果使用反向传播算法来更新权重，则权重更新方程式可以写成：

$$\begin{aligned}
 w_1' &= f(w_1, g_0) \\
 w_2' &= f(w_2, g_0, g_1) \\
 w_3' &= f(w_3, g_0, g_1, g_2) \\
 &\vdots \\
 w_k' &= f(w_k, g_0, g_1, g_2, \dots, g_{k-1})
 \end{aligned}$$

其中 f 是权重更新函数， g_i 表示传播到第 i 个密集层的梯度。我们可以发现，大量的梯度信息被重复用于更新不同密集层的权重。这将导致不同的密集层重复学习复制的梯度信息。

5.1.1.2. 过度层

在密集块之间，使用过渡层来调整特征图的大小和深度。过渡层通常包含卷积层和池化层。

过渡层位于 DenseNet 的每个阶段的末尾，起到压缩和降低特征维度的作用。通常包含一个 1×1 的卷积操作（也称为瓶颈层或投影快捷连接），它能够减少特征图的通道数，从而降低计算量和参数数量。

过渡层还可能包含一个平均池化操作，用于降低特征图的空间维度，有助于减少后续层的计算负担，并且使特征图更加紧凑。

过渡层的设计有助于控制网络的深度和复杂度，防止网络过于庞大而难以训练或导致过拟合。

5.1.1.3. 优势

- **参数效率高：** 相比于其他深度学习模型，DenseNet 由于其重用特征的设计，能够在较少的参数下实现较高的性能。
- **改善梯度消失：** 密集连接结构有助于梯度直接从输出层回传到较早的层，从而减轻了梯度消失问题。
- **特征传递强：** 每一层都接收到所有前层的特征，有助于特征在网络中的传递，使得网络即使很深也能学习有效。

5.1.2. Cross Stage Partial DenseNet (交叉阶段部分密集网络)

接着，论文提出了 CSPDenseNet 的架构。其核心思想是将传统 DenseNet 中的密集连接模块（Dense Block）中的特征流分成两部分。其中一部分特征直接传递到模块的输出，而另一部分则进入下一个子模块进行更深层次的处理。CSPDenseNet 的每个阶段由部分密集块和部分过渡层组成。

5.1.2.1. 部分密集块 (Partial Dense Block)

在每个密集块中，输入特征被分成两个部分。一部分特征直接跨过块传递到块的末端，而另一部分则通过一系列卷积层进行处理。处理后的特征与跨过的特征合并，形成块的输出。

设计部分密集块的目的是：

- **增加梯度路径：** 通过分割和合并策略，梯度路径的数量可以翻倍。

- **平衡每层的计算量：**通常 DenseNet 中基础层的通道数远大于增长率。由于部分密集块中参与密集层操作的基础层通道数仅为原始数量的一半，这可以有效地解决近一半的计算瓶颈问题。
- **减少内存流量：**假设 DenseNet 中一个密集块的基础特征图大小为 $w \times h \times c$ ，增长率为 d ，共有 m 个密集层，则该密集块的 CIO（卷积输入/输出）为 $(c \times m) + ((m^2 + m) \times d) / 2$ ，而部分密集块的 CIO 为 $((c \times m) + (m^2 + m) \times d) / 2$ 。由于 m 和 d 通常远小于 c ，部分密集块能够节省最多一半的网络内存流量。

5.1.2.2. 部分过渡层 (Partial Transition Layer)

首先，密集层的输出经历一个过渡层；然后，这个过渡层的输出与未经过密集层的特征图进行串联，再经历另一个过渡层，最终生成输出。

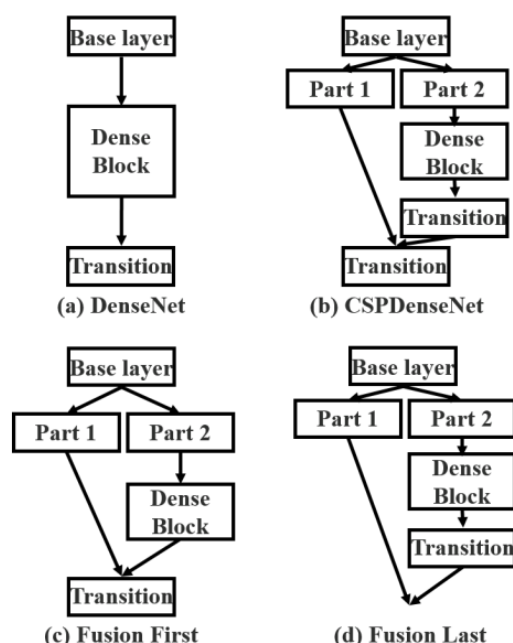
设计部分过渡层的目的是最大化梯度组合的差异。部分过渡层是一种分层特征融合机制，使用截断梯度流的策略来防止不同层学习重复的梯度信息。论文设计了两种 CSPDenseNet 的变体来展示这种梯度流截断如何影响网络的学习能力。

5.1.3. 特征融合策略 (Feature Fusion Strategies)

论文还讨论了不同的特征融合策略，包括：

- DenseNet 的单路径特征融合。
- CSPDenseNet 的过渡→串联→过渡策略。
- 串联→过渡策略。
- 过渡→串联策略。

如图所示：



5.1.4. 总结

CSPNet 不仅可以应用于 DenseNet，还可以轻松地应用于 ResNet 和 ResNeXt。由于只有一半的特征通道通过 Res(X)Blocks，因此不需要引入瓶颈层，这使得在固定 FLOPs 的情况下，内存访问成本（MAC）的理论下限得以实现。

5.2. Exact Fusion Model (EFM)

Exact Fusion Model (EFM) 是论文中提出的另一种关键组件，旨在提高目标检测任务中的准确性和效率。以下是对这一部分内容的详细分析：

5.2.1. EFM 的目的

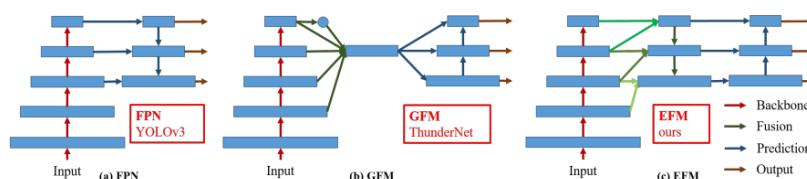
- EFM 的核心目的是为每个锚点捕捉适当的视野（Field of View, FoV），这有助于提高单阶段目标检测器的准确性。
- 与图像分类和目标检测任务不同，分割任务通常需要考虑更大的上下文信息。EFM 通过精确聚合特征金字塔中的特征来适应这些任务。

5.2.2. 工作原理

- **基于 YOLOv3**：EFM 基于 YOLOv3 的架构，为每个真实目标对象分配一个边界框先验（即锚点）。每个真实边界框对应一个与最高 IoU（交并比）阈值匹配的锚点框。
- **聚合特征金字塔**：EFM 通过考虑不同尺度的特征图来更好地聚合初始特征金字塔。对于第 s 尺度的网格单元，相应的边界框将由 $(s-1)$ 尺度的边界框下界和 $(s+1)$ 尺度的边界框上界确定。因此，EFM 从三个尺度组装特征。
- **平衡计算**：由于特征金字塔中串联的特征图非常大，这引入了大量的内存和计算成本。为了解决这个问题，EFM 采用了 Maxout 技术来压缩特征图。

5.2.3. 特点

- **精确的视野预测**：EFM 通过精确地为每个锚点分配视野，可以更准确地预测目标位置和大小。
- **特征金字塔的优化**：EFM 通过聚合不同尺度的特征图来优化特征金字塔，这有助于在不同尺度上捕获目标。
- **计算和内存效率**：通过 Maxout 技术，EFM 减少了特征图的大小，从而降低了内存和计算成本。



不同的特征金字塔融合策略：(a)特征金字塔网络（FPN）：融合当前比例和上一比例的特征。(b)全局融合模型（GFM）：融合所有尺度的特征。(c)精确融合模型（EFM）：融合特征取决于锚尺寸。

5.2.4. 在目标检测中的应用

在目标检测任务中，EFM 通过精确聚合特征金字塔的特征来提高检测的准确性。通过平衡计算和内存需求，EFM 使得模型能够在资源受限的设备上运行，如移动 GPU 或 CPU。

6. 论文涉及方法分析

6.1. 神经网络的深度和宽度

神经网络的深度和宽度是描述网络结构复杂性的两个关键维度。

6.1.1. 深度 (Depth)

神经网络的深度指的是网络中层的堆叠数量。这些层包括输入层、隐藏层和输出层。在深度学习中，网络的“深度”通常指的是隐藏层的数量，因为更多的隐藏层可以让网络学习更复杂的特征和模式，这是因为更深的网络可以进行更高层次的抽象。

论文中提到，神经网络在变得更深时表现出了特别强大的能力。这表明通过增加网络的深度，可以提高模型在图像分类等任务上的性能。

6.1.2. 宽度 (Width)

神经网络的宽度通常指的是网络中每层的单元（如神经元或卷积核）数量，或者特征图的通道数。网络的宽度决定了每一层可以捕获的信息量，更宽的层可以容纳更多的神经元，从而有能力捕捉更加复杂的特征。但同时，增加层的宽度也会显著增加模型的参数数量，这可能导致过拟合，特别是在数据量不足的情况下。

论文中进一步讨论了深度和宽度对计算资源的影响。随着网络深度和宽度的增加，模型的计算需求也会增加，这可能导致计算资源的大量消耗。这种资源消耗的增加可能会限制模型在资源受限的设备上的应用，如移动设备或边缘设备。

6.2. ResNet

ResNet（残差网络）是一种深度卷积神经网络（CNN），由微软研究院的何恺明等人在 2015 年提出。它通过引入了所谓的“残差学习”（residual learning）来解决传统深度网络在训练过程中常见的梯度消失和梯度爆炸问题，特别是在网络非常深的情况下。这种结构在 2015 年的 ImageNet 竞赛中取得了突破性的成果，极大地推动了深度学习在多个领域的应用。

6.2.1. 残差学习

ResNet 的核心是其“残差块”（residual block），每个残差块都包括两个主要的部分：一组卷积层和一个“跳过连接”（skip connection），也称为“快捷连接”（shortcut connection）。跳过连接的作用是将块的输入直接添加到卷积层的输出上。这样设计的目的是让网络学习输入与输出之间的残差，即 $F(x) = H(x) - x$ ，其中 $H(x)$ 是块的输出， x 是输入， $F(x)$ 是卷积层需要学习的残差部分。这种结构使得网络可以非常深而不会导致梯度消失，因为梯度可以通过跳过连接直接流向更早的层。

通过残差块的使用，ResNet 可以构建非常深的网络，例如 ResNet-50，ResNet-101，ResNet-152 等，其中数字代表网络的层数。更深的网络能够学习更加复杂和抽象的特征，但通常也更难训练。ResNet 通过残差块简化了这一训练过程，实现了更好的训练效果。

6.2.2. 优势

- **解决梯度消失问题：**残差块使得即使在非常深的网络中，梯度也能有效地传播，从而避免了梯度消失。
- **加速收敛：**残差学习有助于加速深层网络的收敛，比传统的网络训练时间更短。
- **提高性能：**ResNet 能够在各种视觉任务中达到非常高的性能，包括图像分类、物体检测和图像分割。

6.3. ResNeXt

esNeXt 基于深度残差网络（ResNet）进行改进。旨在通过引入“分组卷积”来提高网络的性能和效率。

相比与 ResNet，ResNeXt 保留了残差块的概念，但引入了“分组卷积”（grouped convolution）。在 ResNeXt 中，每个残差块包含多个并行的分组卷积路径（称为“基数”），这些路径独立处理输入，然后将结果合并，增加了网络学习不同特征的能力。

通过使用分组卷积，ResNeXt 在增加模型容量的同时保持了参数的效率。实际上，ResNeXt 能够在增加非常少的额外计算成本的情况下，显著提升模型的性能。

ResNeXt 通过引入分组卷积和多路径学习，进一步提高了模型在各种复杂任务上的准确性，尤其是在数据集较大或任务较复杂时。

6.4. ResNet（PRN）

Partial Residual Networks（PRN）是一种在传统残差网络（ResNet）基础上的变种，它引入了部分残差连接，优化了残差块的结构。

PRN 的核心思想是在每个残差块中并不是所有的输入都参与到残差连接中。在标准的 ResNet 中，残差块的设计是将输入添加到卷积层的输出上，即 $F(x) = H(x) + x$ 。而在 PRN 中，部分输入可能直接传递到输出，而不通过 $F(x)$ 。

这种设计的目的是为了更灵活地调节每一层中信息的流动，使网络可以自适应地决定哪部分信息需要通过增强的残差路径进行处理，哪部分则可以直接传递，从而优化训练过程和网络性能。

由于不是所有的输入都通过残差函数，PRN 在某些情况下减少了计算的复杂性，提高了计算效率。

6.5. SparseNet

SparseNet 是一种深度学习网络架构，旨在通过稀疏连接来提高计算效率和性能。它通过改进传统的密集连接网络结构（如 DenseNet），在保持网络性能的同时减少参数数量和计算复杂度。

6.5.1. 核心概念与设计

SparseNet 的设计基于这样一个观点：不是所有的输入特征都对后续层 equally 重要，因此可以通过选择性地连接特征来构建更加高效的网络。这种方法与 DenseNet 相比，SparseNet 在每个层级中不是将所有前面层的输出特征全部传递给后续层，而是选择性地传递部分特征。

- **稀疏连接**：每个卷积层或块只从前面的层中选择性地接收一部分特征映射（而非全部），这种选择基于特征的重要性或相关性。这有助于减少冗余信息的传递，提高网络的计算效率。
- **减少参数和计算成本**：由于不再需要为每个层之间的所有可能连接维护权重，SparseNet 的参数数量相对较少，计算成本也相对较低。
- **改善信息流动和特征利用**：通过精心设计的稀疏连接策略，SparseNet 旨在优化信息流动和特征利用，使得每个特征映射都能被更有效地使用。

6.5.2. 优势、特点与应用

- **提高计算效率**：稀疏连接减少了冗余计算，使网络在处理大规模数据集时更加高效。
- **减轻过拟合**：由于参数数量的减少，SparseNet 在某些情况下可能有更好的泛化性能，从而减轻过拟合问题。
- **适应性强**：SparseNet 通过稀疏连接可以更好地适应不同的数据和任务需求，使得网络在多样化的任务上都能保持良好的性能。

SparseNet 可以应用于各种机器学习和计算机视觉任务，特别是那些涉及大量数据或需要高效计算的场景，如图像分类、物体检测和语义分割。此外，它们也适用于需要在资源受限的设备上运行的应用，如移动和嵌入式设备。

6.6. ShuffleNet-v2

6.6.1. 核心概念与设计

ShuffleNet-v2 是一种高效的卷积神经网络（CNN）架构，专为在计算资源受限的环境中运行而设计，如移动设备和嵌入式系统。它是 ShuffleNet 的改进版本，由张旭东等人在 2018 年提出。ShuffleNet-v2 的主要目标是在尽量减少计算复杂度的同时，保持或提高模型性能。

ShuffleNet-v2 的核心设计包括两个主要部分：通道分离和通道混洗。

- **通道分离**：使用深度可分离卷积（depthwise separable convolution），这种卷积方法将普通的卷积操作分为两部分：深度卷积和逐点卷积（详见 YOLOv10 论文笔记），大大减少了参数数量和计算量。
- **通道混洗**：在进行分组卷积后，通过通道混洗操作改变通道间的连接方式，提高了不同组间信息的交流，有助于提升网络性能。
- **均衡的网络设计**：ShuffleNet-v2 强调在设计中保持四个因素的平衡：速度、精度、内存消耗和直接内存访问（DMA）成本。这种均衡使得 ShuffleNet-v2 在效率和性能之间取得了良好的折中。

6.6.2. 优势、特点与应用

- **高效率：**ShuffleNet-v2 特别适用于计算资源受限的环境，比如移动设备。它通过优化的卷积策略和网络结构设计，在保持较低计算复杂度的同时，提供了出色的性能。
- **低内存需求：**相较于其他同类网络，ShuffleNet-v2 在设计时考虑了减少内存消耗，使得它在内存受限的设备上运行更为高效。
- **优秀的性能：**尽管是为低功耗设计，ShuffleNet-v2 在各种标准的图像识别任务上仍然能够达到与更大模型相媲美的准确率。

由于其高效的性能和低资源消耗，ShuffleNet-v2 被广泛应用于需要实时或近实时处理的应用中，例如移动视觉应用、实时视频分析和物体跟踪等。它也是许多轻量级深度学习模型设计的基础，适用于在边缘设备上机器学习计算。

6.7. HarDNet

6.7.1. 核心概念与设计

HarDNet (Harmonic DenseNet) 是一种专为高效性能优化的卷积神经网络架构，旨在处理需要快速且高效计算的视觉任务。HarDNet 由林智仁等人在 2019 年提出，其设计重点在于减少计算依赖和内存访问成本，从而在保持高性能的同时，提高处理速度和降低能耗。

HarDNet 的核心特点是其使用了一种称为“Harmonic Dense Connectivity Pattern”的连接模式。与传统的 DenseNet 不同，这种模式并不要求每个层与之前所有层连接。相反，它通过选择性连接模式减少了特征图之间的冗余，从而减少了计算和内存需求。

6.7.2. 优势、特点与应用

- **减少内存访问：**HarDNet 通过减少层间的连接数，显著降低了内存访问频率，这是因为内存访问往往是深度学习中最耗时的操作之一。
- **改进的连接模式：**在 HarDNet 中，层与层之间的连接遵循调和序列 (Harmonic series)，即每个层只与之前特定的层连接，而不是每个层都连接。这种模式有助于降低冗余同时保持重要信息的传递。
- **高效的特征利用：**通过精心设计的连接模式，HarDNet 能够有效利用特征，减少了重复的特征计算，提高了整体网络效率。
- **低延迟的性能：**这种网络特别适用于需要低延迟操作的应用，如实时视频处理和移动设备上的视觉任务。
- **节能：**减少内存访问次数直接影响能耗，使得 HarDNet 特别适合于电池供电的移动设备。

由于其优异的性能和效率，HarDNet 被广泛应用于多种计算机视觉任务，包括但不限于物体检测、面部识别和自动驾驶系统中的视觉处理。其快速响应的特性使其在需要即时分析和决策的场景中尤为重要。

6.8. 卷积输入/输出 (CIO)

CIO 是一个衡量卷积神经网络中卷积层内存访问和数据流量的指标。它通常用来评估网络操作的内存效率，尤其是在设计轻量级或资源受限的设备上的模型时。CIO 度量考虑了以下因素：

- **输入特征图的大小**：包括特征图的宽度、高度和通道数。
- **卷积核的参数**：包括卷积核的数量和大小。
- **输出特征图的大小**：即经过卷积操作后生成的特征图的维度。

CIO 度量可以近似地表示为卷积操作中涉及的总元素数量，这直接关联到内存访问次数和数据传输量。一个高 CIO 值可能意味着模型在执行卷积操作时需要更多的内存带宽和存储空间。

6.9. SSD (Single Shot MultiBox Detector)

6.9.1. 核心概念与特点

SSD (Single Shot MultiBox Detector) 是一种流行且高效的实时目标检测模型，由刘卫华等人在 2016 年提出。这种模型特别设计用于在单次前向传播中实现目标检测，以此提高处理速度，非常适用于实时处理任务。

- **单次检测 (Single Shot)**：与需要多次处理的区域建议网络（如 R-CNN 系列）不同，SSD 在单次前向传播中同时预测目标类别和边界框位置。这种方法消除了候选区域提取和后续重复处理的需要，显著提高了检测速度。
- **多尺度特征图**：SSD 利用基础网络（常用 VGG16 或 ResNet 等）不同层的特征图来检测不同大小的对象。较浅的层识别小物体，较深的层识别大物体，这样的设计使得 SSD 能够有效处理多种尺寸的目标。
- **固定形状的边界框 (Anchors)**：类似于 Faster R-CNN 中的 anchor boxes，SSD 在特征图的每个位置上定义了一系列固定形状和大小的边界框，这些边界框用于预测相对位置的偏移以及类别概率。
- **端到端训练**：SSD 可以通过端到端的方式进行训练，不需要复杂的训练阶段或额外的候选区域生成步骤。

6.9.2. 优势与应用

- **高效性**：由于其单次检测架构，SSD 能够在不牺牲准确性的情况下，提供极高的处理速度，适合实时应用。
- **准确性**：通过使用多尺度特征图，SSD 能够在广泛的物体大小上实现较高的检测准确性。
- **灵活性**：SSD 能够适应不同的基础网络架构，这使得它可以根据具体的性能和准确性需求进行定制。

SSD 由于其出色的速度和准确性，广泛应用于许多实时视觉识别任务中。包括：视频监控、自动驾驶、机器人视觉、AR。

6.10. 无锚点 (anchor-free)

无锚点是深度学习领域中一种相对较新的目标检测方法，它与传统的基于锚点 (anchor-based) 的目标检测方法 (如 Faster R-CNN、SSD 等) 有显著的不同。无锚点方法摒弃了传统检测框架中预定义的锚框 (anchor boxes)，而是直接预测目标的关键点或中心点，以及其相关属性 (如宽度、高度、方向等)，从而实现对目标的定位和识别。

6.10.1. 主要特点和工作原理

- **直接目标检测：**无锚点方法通过直接学习目标中心点或其他关键特征点 (如边角点) 来检测目标，而无需依赖预定义的锚框。这样做简化了模型的预处理步骤，降低了模型复杂度。
- **简化的模型结构：**去除锚点意味着模型不需要为不同尺寸和比例的锚框设计复杂的调整机制，从而简化了模型结构并可能降低了训练难度。
- **避免与锚点相关的问题：**传统的基于锚点的方法需要精心设计锚点的大小、比例和数量，这些参数对模型性能有很大影响。无锚点方法减少了这种设计负担，并降低了因锚点设置不当导致的性能问题。

6.10.2. 优势和挑战

- **减少超参数：**无需调整和优化大量与锚点相关的超参数。
- **提高灵活性和适应性：**更好地适应不同尺寸和形状的目标。
- **简化模型和训练过程：**模型更直观，训练和调优过程更简单。
- **准确性和鲁棒性：**在某些情况下，尤其是目标高度重叠或极端尺寸变化时，无锚点方法可能面临检测性能的挑战。
- **算法复杂性：**虽然省略了锚点，但高效准确地配对关键点或处理中心点的预测可能带来新的算法挑战。

6.10.3. 无锚点目标检测的例子

6.10.3.1. CenterNet

通过检测目标的中心点来定位和识别目标。该模型使用热图来预测图像中每个类别的中心位置，并同时预测每个中心点的宽度、高度和偏移量，从而确定目标的精确边界框。CenterNet 的优势在于其简洁性和效率，它避免了传统检测方法中复杂的锚点设计和多阶段处理流程。

6.10.3.2. CornerNet

通过检测目标的两个对角点 (左上角和右下角) 来定位目标。这种方法使用两个热图分别预测左上角和右下角，然后配对这些点来确定目标的边界框。

6.10.3.3. CornerNet-Lite

CornerNet-Lite 是 CornerNet 的一个轻量级版本，它同样是一种无锚点的目标检测模型。CornerNet 原始模型通过检测目标的两个对角点来定位目标。CornerNet-Lite 通过对 CornerNet 架构和训练流程的优化，使其更适合在资源受限的设备上运行。CornerNet-Lite 包括两个变体：CornerNet-Saccade 和 CornerNet-Squeeze。CornerNet-Saccade 使用注意力机制来减少计算量，而 CornerNet-Squeeze 则通过简化网络结构来减少模型的参数和运算需求。

6.10.3.4. FCOS (Fully Convolutional One-Stage Object Detection)

这是一种端到端的单阶段目标检测器，它在全卷积网络的基础上，直接预测每个像素点是否为目标的中心，并输出该点的边界框尺寸。

6.11. LRF (Local Receptive Fields)

LRF (Local Receptive Fields) 通常指神经网络中每个神经元感受到的输入图像区域。在卷积神经网络 (CNN) 中，感受野是指一个输出特征图中的一个元素对应的输入图像上的区域大小。LRF 的概念强调局部性，即神经元只响应其接近的局部输入区域。LRF 的大小和形状对于模型捕捉图像中的局部特征非常关键。尽管这个术语不常单独作为一个特定模型的名称，但它是深度学习和计算机视觉中的一个基本概念。

6.12. RFBNet

RFBNet (Receptive Field Block Net) 是一种目标检测模型，其灵感来源于生物视觉系统的感受野机制。RFBNet 在 SSD 的基础上通过引入 Receptive Field Block (RFB) 来模仿复杂的感受野，增强模型对不同尺度对象的感知能力。RFB 结构通过多尺度卷积和跨层连接增强了特征的多样性和鲁棒性，从而提高了目标检测的准确性，尤其是在小目标上的表现。

6.13. 计算瓶颈

在深度学习领域中，计算瓶颈通常指的是在神经网络的训练和推理过程中限制性能提升的关键因素。这些瓶颈可能由多种因素引起，包括硬件资源限制、算法效率问题以及数据处理和传输延迟等。理解和解决这些计算瓶颈对于优化深度学习模型的性能至关重要。

6.13.1. 硬件限制

- **处理器性能：**即使是高级的 GPU 和 TPU（张量处理单元）也可能在处理大规模网络或复杂模型时遇到性能限制。
- **内存带宽和容量：**深度学习模型特别是大型模型需要大量内存来存储权重、激活值和梯度。内存带宽和容量不足可能导致数据传输瓶颈，限制了整体的处理速度。
- **I/O 速度：**数据读取速度（从硬盘到内存）可能成为训练过程中的瓶颈，特别是在数据集非常大的情况下。

6.13.2. 算法效率

- **并行处理效率**：某些模型可能难以有效地并行处理，这限制了利用现代多核 GPU 的能力。
- **梯度计算和反向传播**：在训练过程中，梯度的计算和反向传播可能非常耗时，尤其是在网络很深的情况下。
- **前向传播效率**：前向传播过程中的矩阵乘法和卷积操作可能非常消耗计算资源，特别是对于输入维度高和层多的网络。

6.13.3. 数据处理

- **数据预处理**：数据加载和预处理（如增强、归一化）可能在 CPU 上进行，成为系统的瓶颈。
- **数据传输**：数据从存储设备到处理单元（如 CPU/GPU）的传输可能因带宽不足而成为瓶颈。

6.14. 动态随机存取存储器 (DRAM)

动态随机存取存储器（DRAM，Dynamic Random Access Memory）是一种常用的计算机内存类型，它用于存储计算机处理器需要快速访问的数据和程序。

DRAM 的基本存储单元是一个由晶体管和电容组成的单元格。晶体管充当开关，用于控制访问电容，而电容则用于存储电荷，代表二进制数据（0 或 1）。DRAM 的“动态”特性来自于其存储方式：电容会逐渐泄露电荷，因此需要定期刷新（重新充电）来保持存储的信息。

6.15. ASIC (Application-Specific Integrated Circuit)

ASIC (Application-Specific Integrated Circuit，应用特定集成电路) 是一种专门为特定应用设计的集成电路 (IC)。与通用的集成电路相比，如微处理器或标准的数字信号处理器，ASIC 被设计来执行特定的任务，并且通常在这些任务上表现出更高的效率和优化性能。

6.16. 交叉通道池化 (Cross-Channel Pooling)

交叉通道池化 (Cross-channel pooling)，也称为全局池化 (global pooling) 或者空间金字塔池化 (spatial pyramid pooling)，是深度学习中一种在卷积神经网络中用于特征聚合的技术。这种方法通常用于整合特征图 (feature maps) 中的信息，特别是在处理多个通道时，能够提取并压缩空间信息，从而为分类或其他任务生成一个固定大小的输出向量。

在卷积神经网络中，传统的池化层（如最大池化和平均池化）通常作用于每个特征图的局部区域，以减少数据的空间尺寸并提取重要特征。与此相比，交叉通道池化关注于在通道维度上整合信息，而非仅在空间维度上。它通常在所有空间位置上对每个通道的特征进行池化，以提取每个通道的统计信息。

6.16.1. 全局平均池化 (Global Average Pooling, GAP)

在这种方法中，对每个通道的所有空间元素进行平均，最终为每个通道生成一个单一的标量值。这些值一起形成了一个全新的、更低维的特征向量，通常用于网络的最后，直接连接到分类层。

6.16.2. 全局最大池化 (Global Max Pooling, GMP)

与全局平均池化类似，但是这里采用的是最大值操作，而非平均值。对每个通道的所有空间元素取最大值，以突出每个通道中的最显著特征。

6.16.3. 应用和优点

- **防止过拟合：**全局池化减少了模型的参数数量，从而有助于降低过拟合的风险。
- **固定长度的输出：**不论输入图像的尺寸如何，全局池化层总能输出固定长度的向量，这对于连接全连接层非常有用，特别是在处理不同尺寸的图像时。
- **增强模型的泛化能力：**通过聚合整个特征图的全局信息，模型能更好地泛化到新的、未见过的数据上。

全局平均池化在许多现代的卷积神经网络架构中得到了广泛应用，如 Inception 网络和 ResNet。它们通常使用全局平均池化替代了传统的全连接层，以此减少模型的总参数数量，并改善了模型在视觉任务上的表现。